

ГОСУДАРСТВЕННЫЙ КОМИТЕТ СССР  
ПО НАРОДНОМУ ОБРАЗОВАНИЮ

МОСКОВСКИЙ ордена ЛЕНИНА и ордена ОКТЯБРЬСКОЙ РЕВОЛЮЦИИ  
ЭНЕРГЕТИЧЕСКИЙ ИНСТИТУТ

ISSN 0234—9124



ВОПРОСЫ ПРОЕКТИРОВАНИЯ  
И ЭКСПЛУАТАЦИИ  
ЭЛЕКТРИЧЕСКОЙ ЧАСТИ  
ЭЛЕКТРОСТАНЦИЙ

Сборник научных трудов

№ 197

Москва

1989

## ЛИТЕРАТУРА

- Гайснер А. Д., Тимченко В. Ф. Учет основных факторов повреждаемости при статистическом анализе надежности дальних линий электропередачи и применение его результатов // Электричество. 1974. № 4. С. 8—16.
- Барг И. Г., Эдельман В. И. Воздушные линии электропередачи: Вопросы эксплуатации и надежности // М.: Энергоатомиздат, 1985.
- Ушакова А. Д., Вострасаблин А. А., Смольянинова Л. Н. Законы распределения уровней токов КЗ в сетях ЭЭС // Сб. науч. трудов. № 163. М.: Моск. энерг. ин-т. 1988. С. 47—51.

## ИССЛЕДОВАНИЕ ПАРАМЕТРОВ ВРЕМЕННЫХ СОСТАВЛЯЮЩИХ ЭЛЕКТРОДИНАМИЧЕСКИХ НАГРУЗОК ЖЕСТКИХ ШИН С ОТВЕТВЛЕНИЯМИ

Канд. техн. наук доц. А. П. ДОЛИН,  
мл. науч. сотр. А. Н. ХОМЕНКО (Моск.  
энерг. ин-т)

Расчет электродинамической стойкости жесткой ошиновки обычно выполняется для прямолинейных конструкций без учета ответвлений и поворотов шин, что в ряде случаев может приводить к существенной погрешности.

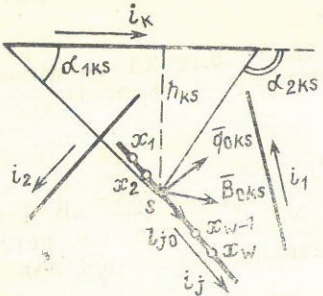


Рис. 1. К определению электродинамических нагрузок

де случаев и ниже 35 кВ) кроме результирующих нагрузок необходимо знать распределенные (по длине проводника) ЭДН, а также зависимости этих нагрузок от времени. В данной статье излагается методика расчета ЭДН в шинных конструкциях с ответвлениями при двух- и трехфазных КЗ.

Шинные конструкции можно рассматривать как трехфазные системы, состоящие из  $K$  произвольно расположенных в пространстве кусочно-линейных проводников (рис. 1). Если считать все проводники нитевидными, то нагрузка в произвольной точке  $s$  проводника с номером  $j$  определяется по формуле

$$\bar{q}_{js} = i_j \sum_{\substack{k=1 \\ k \neq j}}^K [\bar{l}_{j0} \times \bar{B}_{ks}] = \frac{\mu_0}{4\pi a} i_j \sum_{\substack{k=1 \\ k \neq j}}^K i_k \bar{q}_{0ks} S_{js}, \quad (1)$$

где  $i_j$ ,  $i_k$  — токи в проводниках с номерами  $j$  и  $k$ ;  $\bar{l}_{j0}$  — единичный вектор, совпадающий с принятым в расчете направлением тока  $i_j$ ;  $\bar{B}_{ks}$  — вектор магнитной индукции в точке  $s$  от тока в  $k$ -м проводнике;  $\bar{q}_{0ks} = [\bar{l}_{j0} + \bar{B}_{0ks}]$  — единичный вектор ЭДН;  $\bar{B}_{0ks} = \bar{B}_{ks}/|\bar{B}_{ks}|$  — единичный вектор магнитной индукции;  $S_{js} = a(|\cos \alpha_{1ks} - \cos \alpha_{2ks}|)/h_{ks}$ ;  $\alpha_{1ks}$  и  $\alpha_{2ks}$  — углы, образованные векторами  $\bar{l}_k$ , и векторами, соединяющими начало и конец  $k$ -го проводника с точкой  $s$ ;  $h_{ks}$  — наименьшее расстояние от точки  $s$  до  $k$ -го проводника;  $a$  — минимальное для системы проводников междуфазное расстояние,

Токи КЗ можно определить как

$$i_k = I_{mk} \{ \sin[\omega t + \psi - \frac{2}{3}\pi(p-1)] - e^{-t/T_a} \sin[\psi - \frac{2}{3}\pi(p-1)] \}, \quad p = 1, 2, 3, \quad (2)$$

где  $I_{mk}$  — амплитуда периодической составляющей тока КЗ, А;  $\omega$  — угловая частота тока сети, рад/с;  $t$  — время, с;  $\psi$  — угол включения тока КЗ, рад;  $T_a$  — постоянная времени затухания апериодической составляющей тока КЗ, с;  $p$  — параметр:  $p=1$  при двухфазном КЗ и для фазы  $A$  при трехфазном,  $p=2$  и 3 при трехфазном КЗ для фаз  $B$  и  $C$ .

Произведение токов  $i_j$  и  $i_k$  в уравнении (1) в соответствии с (2) приводится к виду

$$i_j i_k = I_{mj}^2 \beta_k \sum_{n=1}^6 D_{nk}(\psi) T_n(t), \quad (3)$$

где  $\beta_k = I_{mk}/I_{mj}$  — отношение амплитуд периодических токов КЗ в  $k$ -м и  $j$ -м проводниках;  $D_{nk}$  — коэффициенты, зависящие от вида КЗ, угла включения тока КЗ и фаз проводников  $k$  и  $j$ ;  $T_n$  — функции времени, причем

$$T_1 = 1; \quad T_2 = e^{-2t/T_a}; \quad T_3 = e^{-t/T_a} \sin \omega t; \quad T_4 = e^{-t/T_a} \cos \omega t; \\ T_5 = \sin 2\omega t; \quad T_6 = \cos 2\omega t.$$

Подставляя (3) в (1), получим

$$\bar{q}_{is} = \frac{\mu_0}{4\pi a} I_{mi}^2 \sum_{k=1}^K \beta_k S_{ks} \bar{q}_{0ksi} \sum_{n=1}^6 D_{nk}(\psi) T_n(t). \quad (4)$$

Найдем проекции вектора ЭДН на ортогональные плоскости  $v$  и  $\tau$ , проходящие соответственно через оси опорных

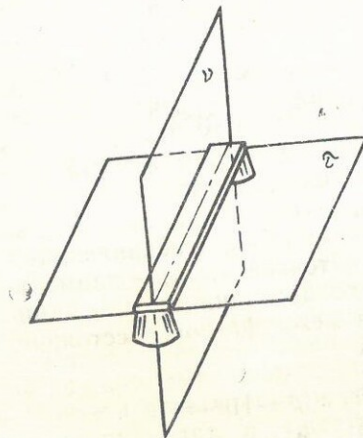


Рис. 2. Ортогональные плоскости  $v$  и  $\tau$

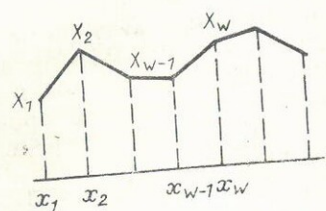


Рис. 3. Аппроксимация ЭДН кусочно-линейной функции

изоляторов и ось проводника (рис. 2):

$$q_{isi}(v, t, \psi) = \frac{\mu_0}{4\pi a} I_{mi}^2 \sum_{n=1}^6 x_{nsi}(x, \psi) T_n(t), \quad (5)$$

где  $i=1, 2$  — индекс, соответствующий плоскости  $v$  или  $\tau$ ;  
 $X_{nsi} = \sum_{k=1}^K \beta_k S_{ks}(x) q_{0ksi} D_{nk}(\psi)$ ;  $q_{0ksi}$  — проекции единичной на-

грузки на плоскость  $v$  или  $\tau$ . Для практических расчетов профиль распределения проекций ЭДН на ортогональные плоскости  $v$  и  $\tau$  удобно аппроксимировать достаточно простой аналитической зависимостью, например кусочно-линейной функцией. Если  $k$ -й проводник разбить на  $W$  интервалов, то на произвольном

участке  $[x_{w-1}, x_w]$  (рис. 3) функцию  $X_{ni}$  можно определить по формуле

$$X_{ni}(x) \approx M_{niw} x + N_{niw}; \quad x_{w-1} \leq x \leq x_w; \quad w=1, 2, \dots, W;$$

здесь

$$M_{niw} = (X_{niw} - X_{ni(w-1)}) / (x_w - x_{w-1});$$

$$N_{niw} = X_{ni(w-1)} - (X_{niw} - X_{ni(w-1)}) / (x_w - x_{w-1}),$$

где  $X_{niw}$  — значение функции в точке  $x_w$ .

Аппроксимация проекций ЭДН кусочно-линейной функцией от координаты проводника  $x$  позволяет с достаточной для инженерных расчетов точностью оценивать прочность жесткой ошиновки при КЗ известными методами [3, 4] на основе статических и динамических расчетных схем. Погрешность расчетов зависит от числа интервалов разбиения и конфигурации конструкций.

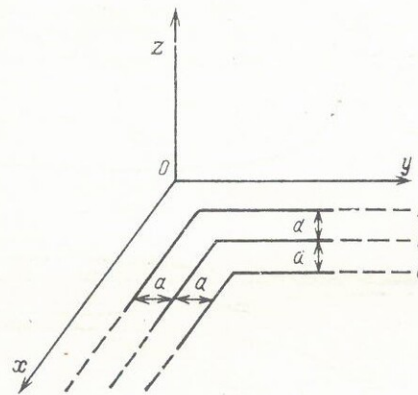


Рис. 4. Расчетная трехфазная система

Для расчета коэффициентов  $X_{ni}$ ,  $M$  и  $N$ , а также проекций результирующих ЭДН  $q_i$  составлена ФОРТРАН-программа EDNAG, реализованная на ЕС-1045. В качестве исходных параметров в произвольно выбранной декартовой системе вводятся координаты точек начала и концов всех проводников (с учетом принятого направления тока), минимальное междупфазное расстояние и отношения амплитуд периодических составляющих токов КЗ. Если в конструк-

ции имеются протяженные линейные участки проводников, то в исходных параметрах указываются координаты любых точек на их оси; кроме того, добавляется ключевой параметр  $\Delta$ , равный нулю для практически бесконечно удаленных концов проводника и единице, если введенная координата соответствует крайней точке проводника. Тестирование программы проводилось для параллельных шин конечной и бесконечной длины, а также для шин, расположенных под прямым углом.

В качестве примера рассмотрим результаты расчета ЭДН и их составляющих в шинной линии с поворотом под прямым углом, фазы которой расположены в одной плоскости на расстоянии  $a=1$  м (рис. 4). На рис. 5 приведена зависимость коэффициентов  $X_n$  ( $n=1, 2, \dots, 6$ ) ЭДН, действующей на проводник фазы А (в плоскости ХОУ), от координаты  $x$  при трехфазном КЗ и угле включения  $\psi=\pi/2$ . Абсолютные значения коэффициентов  $X_n$  постоянной, апериоди-

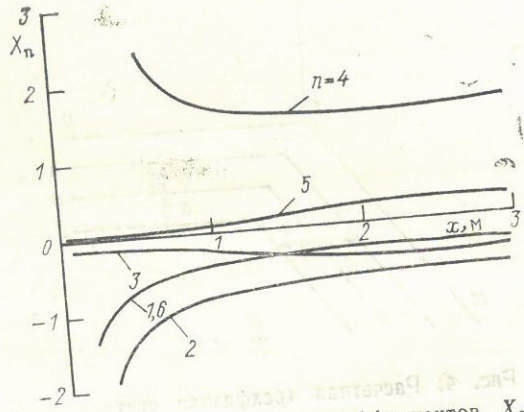


Рис. 5. Зависимость коэффициентов  $X_n$  от координаты  $x$  при трехфазном КЗ и угле включения  $\psi=\pi/2$

ческой и периодических составляющих, изменяющихся по синусоидальному закону ( $n=1, 2, 3, 5$ ), при приближении к повороту шины ( $x=0$ ) значительно возрастают, коэффициенты периодической составляющей, изменяющейся по синусоидальному закону ( $n=4, 6$ ), наоборот, снижаются. На расстоянии  $x$ , большем 2–2,5 м, от угла поворота коэффициен-

ты  $X_n$  становятся практически постоянными и равными соответствующим коэффициентам линий с бесконечно длинными параллельными шинами.

На рис. 6 представлена зависимость коэффициентов  $X_n$  ( $n=1, 2, \dots, 6$ ) от угла включения  $\psi$  при  $x=0,5$  м. Постоянная составляющая ( $n=1$ ) не зависит от угла включения тока КЗ. Коэффициенты  $X_n$  апериодической и периодических косинусоидальных составляющих ( $n=2, 3, 5$ ),

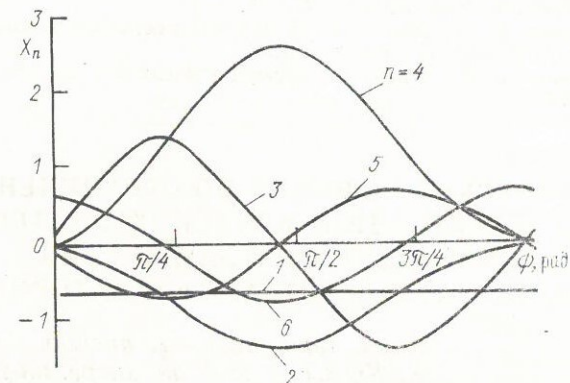


Рис. 6. Зависимость коэффициентов  $X_n$  от угла включения при  $x=0,5$  м

так же как результирующая ЭДН, достигают наибольших по модулю значений при  $\psi \approx 1,473$  рад; при этом угле синусоидальные составляющие ( $n=4, 6$ ) обращаются в нуль. На значительном удалении от угла поворота ( $x>2,5$  м) коэффициенты  $X_n$  фазы А ( $n=2, 3, 5$ ) и ЭДН имеют максимум при  $\psi=5\pi/12$  (1,309 рад), так же как для бесконечно длинных параллельных шин. Помимо приближения к повороту этот угол включения незначительно возрастает примерно до  $\pi/2$  (1,570 рад). Время наступления максимума ЭДН для всех точек проводника составляет приблизительно 0,01 с.

Таким образом, при расчете на электродинамическую стойкость шинных линий с поворотом угол включения тока КЗ  $\psi$  следует принимать равным от  $5\pi/12$  до  $6\pi/12$ . Для шинных линий распределительных устройств на напряжение 110 кВ и выше с длиной пролета значительно больше 2,5 м, обладающих низкой частотой собственных колебаний и поэтому воспринимающих в основном постоянную и апериоди-

ческую составляющую нагрузки, без существенной погрешности ЭДН можно определить при  $\psi = 5\pi/12$ , так же как для параллельных бесконечно длинных шин.

## ЛИТЕРАТУРА

1. Холявский Г. Б. Расчет электродинамических усилий в электрических аппаратах. М.: Энергия, 1971.
2. Стрелок М. И., Зарецкий Е. Ф. Расчет электродинамических усилий в системе произвольно расположенных прямолинейных проводников//Электричество. 1976. № 5. С. 77–79.
3. Кудрявцев Е. П., Долин А. П. Расчет жесткой ошиновки распределительных устройств. М.: Энергия, 1981.
4. Филиппов А. П. Колебания деформируемых систем. М.: Машиностроение, 1970.

## ТЕХНИЧЕСКИЕ РЕШЕНИЯ ПО ОГРАНИЧЕНИЮ ОПАСНЫХ ЭЛЕКТРОДИНАМИЧЕСКИХ ВОЗДЕЙСТВИЙ ТОКОВ КОРОТКОГО ЗАМЫКАНИЯ НА ОБМОТКИ АВТОТРАНСФОРМАТОРОВ

Канд. техн. наук ст. препод. А. К. ИС-  
КАКОВ (Алма-Атин. энерг. ин-т)

В последние годы наблюдается значительный рост повреждаемости обмоток мощных силовых трансформаторов и автотрансформаторов (АТ) вследствие недостаточной электродинамической устойчивости к токам короткого замыкания (КЗ). Установлено [1], что аварийные токи в трансформаторах и АТ при внешних однофазных КЗ, составляющих основную долю всех КЗ в сетях напряжением 220 кВ и выше, не только соизмеримы, но в ряде случаев существенно превышают нормированные по ГОСТ 11677-75 значения. Отмечается выход из строя трансформаторов и при токах КЗ, меньших расчетных [2]. Это обуславливает необходимость ограничения токов КЗ, что приведет к повышению надежности эксплуатации трансформаторов и АТ.

В настоящей работе проведен анализ изменения сквозных токов КЗ в обмотках АТ и рассмотрена возможность их ограничения с использованием трехфазных реакторов нулевой последовательности (РНП) [3].

В расчетной схеме, представленной на рис. 1, связь между сетями высокого напряжения (ВН) и среднего (СН) осуществляется посредством АТ, а РНП включен последователь-